

# 汚泥の管路流動に関する実験的研究

早稲田大学理工学部 正員 遠藤郁夫

早稲田大学研究生 正員 鄭俊錫

## 1. 緒論

下水汚泥のような懸濁液は固相と液相とに分けて問題を取扱うよりも均一な一相の流体として論ずる方が、問題を適確に処理できる場合が多い。しかし、その場合の一相としての流体はニュートン流体として取扱うことできぬ場合も少なくない。下水汚泥はその種類にもよるが、水分が96~98%位なら非ニュートン流体として取扱う必要があるともいわれる。現在の下水道施設基準解説における、摩擦損失水頭の算定は、Greelyの場合の清水の1.5~4倍とはほとんど同じで、2~4倍としている。その他、Hazen-Williamsの式の $C_H$ 値を適当に選んで求めたり、 $C_H = 100$ として、その値の200~400%としたりしている。また Darcy-Weisbach の式で求めた清水の場合の30%増とした例もある。このように下水汚泥の摩擦損失水頭の算定は理論的根拠に乏しく、場合によって様々であろう。

本論文は、余剰汚泥濃度や、如何に流動特性に影響するかを検討したものである。

一般に、流体のレオロジー的性質は図-1に示すように、変形速度( $du/dy$ )とせん断応力( $\tau$ )との関係を示す曲線、すなわち、流動特性によってあらわされる。また、図-2および図-3はそれぞれの対数グラフである。流動特性の解析的表現、すなわち、流動方程式は一般に、

$$\frac{du}{dy} = f(\tau) \quad \text{--- (1)}$$

と書ける。この函数形について多くの人々によって

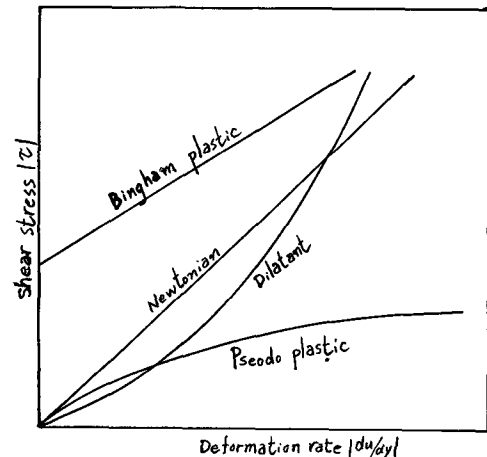


図-1 一般流体の流動特性

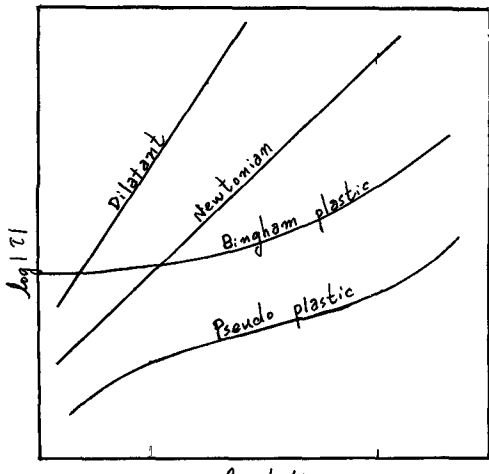


図-2 速度勾配とせん断応力との関係

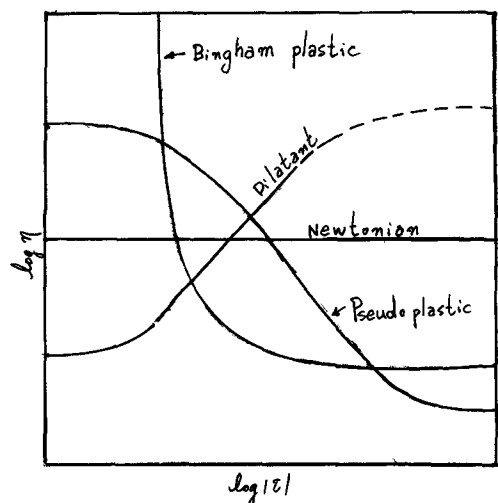


図-3 せん断応力と粘度との関係

種々の形式をもつてゐるが、ここでは、簡単に比較的広く用いられてゐるものについて説明する。

a) 原点を通る直線によって示されるのはニュートン流体である。せん断応力  $\tau$  はせん断速度  $\frac{du}{dy}$  に比例するよりも、ともに単純な流体で、水、空気、各種の油など普通の流体はこれに属する。

$$\tau = \frac{\eta'}{g_c} \frac{du}{dy} \quad (2)$$

$\tau$  : せん断応力  $N/m^2$

$du/dy$  : 速度勾配  $1/sec$

$\eta'$  : 粘性係数または粘度  $kg/m \cdot sec$

$g_c$  : 重力換算係数  $kg \cdot m / kg \cdot sec^2$

b) 非ニュートン流体、図-1において、原点を通じて、曲がってゐる様を呼ぶが、場合によっては、原点を通らない流体をも含むことがある。ここでは、 $\tau$  は  $du/dy$  の関数になり、 $du/dy = 0$  に対して  $\tau = 0$  となるものとする。すなわち、

$$\left. \begin{array}{l} \tau g_c = f(\frac{du}{dy}) \\ du/dy = 0 \text{ のとき } \tau = 0 \end{array} \right\} \quad (3)$$

非ニュートン流体では  $du/dy$  の増加割合に対する  $\tau$  の増加割合の大小が異なることと、その逆の傾向があることがある。前者を擬塑性流体または構造粘性流体といい、クロイド溶液やペイントまたはある種の高分子物質がこれに属する。後者をダイラタンント流体といい、水を含んだ砂や、ある種の高分子物質がこれに属する。

(3)式の  $f(\frac{du}{dy})$  なる関数の形は現在まで種々なもののが提案されてゐるが、数学的取扱いが簡単で便利なため、

$$\tau g_c = f\left(\frac{du}{dy}\right) = M_p \left(\frac{du}{dy}\right)^n \quad (4)$$

$n$  : 定数 [—]

$M_p$  : ニュートン流体の粘度に相当する定数  $kg \cdot sec^{n+2}/m$

の形が使用されることが多い。

$n=1$  のときはニュートン流体、 $n < 1$  のときは擬塑性流体、 $n > 1$  のときはダイラタンント流体を表わす。

c) ピンガム流体、この流体はせん断応力がある降伏値  $\tau_0$  を越えたときにはじめて、流体層間にすれあ起り流動がはじまる塑性流体で  $\tau$  と  $du/dy$  の関係は直線ではなくそのまゝである。固体微粒子の懸濁液、アスファルト等がこれに属する。工学的には一種の理想的塑性流体である。

$$(\tau - \tau_0) g_c = M_p \frac{du}{dy} \quad (5)$$

$\tau_0$  : 降伏応力  $N/m^2$

$M_p$  : 塑性粘度 或は Coefficient of rigidity  $kg/m \cdot sec$

d) 非ピンガム流体、塑性流体で、 $\tau$  と  $du/dy$  の関係は直線でないものとする。スラリーなどは正確には非ピンガム流体に属する。したがって、

$$(\tau - \tau_0) g_c = f(\frac{du}{dy}) \quad (6)$$

または、

$$\tau g_c = f(\frac{du}{dy})$$

$$T \leq T_c \text{ にて } \frac{dy}{dy} = 0 \quad \text{--- (7)}$$

とあらわさゆる。非ヒンガム流体はもつとも一般的な流動特性をもつた流体で、他の流体はこれの特徴なものと見ることができる。

## 2 降伏応力、粘度、および密度

実際のストライ - オリス泥などの輸送計画を立てるには予め所定の流体の流動特性、降伏応力、粘度および密度等を決定する必要がある。特に降伏応力と粘度の測定には、次の二種類がある。

1) 内管内の流れより決定する方法

2) 回転円筒型粘度計による測定

などである。

回転円筒型粘度計は図-4の如くに内部円筒と外部円筒との間に液を入れ、外部円筒を一定速度で回転せしめ、内部円筒の振り角を鏡で読み、これから内部円筒に加わる力を計算して粘度を求めることができる。また、円筒に一定のモーメントを加えて回転せしめた時の回転数から粘度を計算するものなどいろいろな型がある。本実験では、上述の前者に相当する Universal Rheometer (I-Type) 図-4 Couette 型粘度計本体

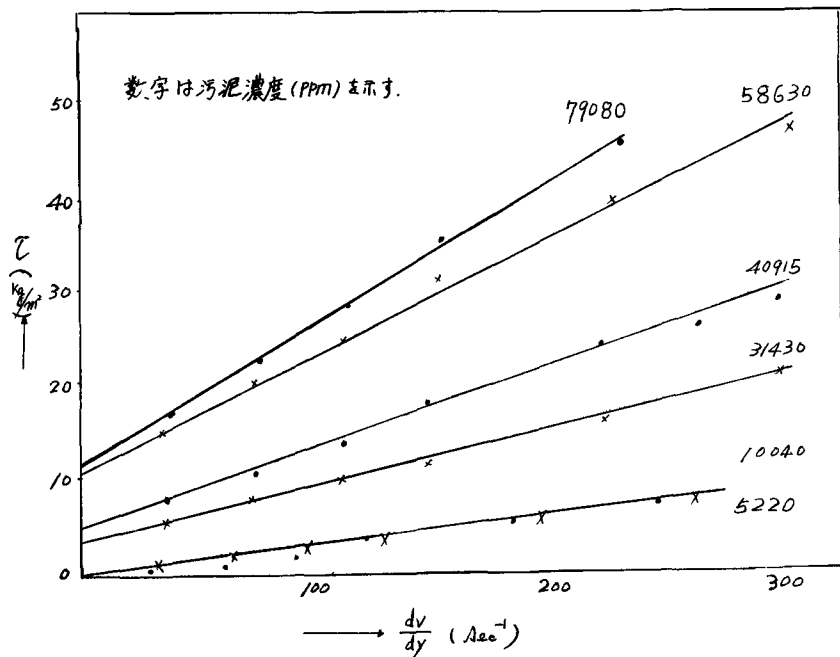
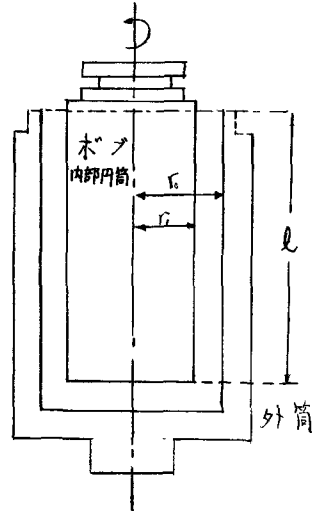


図-5 速度勾配とせん断応力

(島津製作所)を使用し、次式で計算した。

$$T = \frac{T}{2\pi R^2 l} \quad \text{--- (8)}$$

$$-\left(\frac{du}{dy}\right) = \frac{4\pi N}{1 - 1/s^2} \left\{ 1 + K_1 (1/\alpha - 1) + K_2 (1/\alpha - 1)^2 \right\} \quad \text{--- (9)}$$

$$S = \frac{r_2}{r_1} = \frac{2}{1.65} = 1.212 \quad (10)$$

$$\left. \begin{aligned} K_1 &= \frac{S^2 - 1}{2S^2} (1 + \frac{2}{3} \ln S) \\ K_2 &= \frac{S^2 - 1}{2S^2} \ln S \end{aligned} \right\} \quad (11)$$

$$\alpha = \frac{d(\log T)}{d(\log N)} \quad (12)$$

$$\eta = -\frac{du}{dy} \Big|_i \quad (13)$$

$\alpha$  は測定値より  $\log T$  と  $\log N$  の勾配より求めた。

$r_1$  : 外筒半径, cm

$r_2$  : 内筒(ホリ)半径, cm

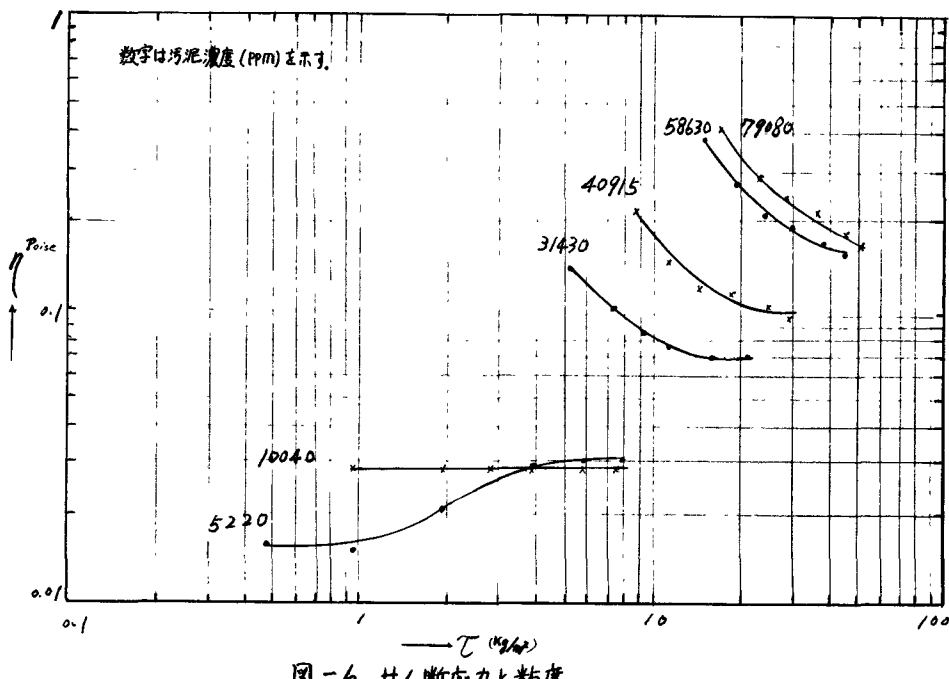
$l$  : ホリ長さ, cm

$N$  : 回転数, RPM

$T$  : トルク, dyne-cm

$\tau$  : せん断応力, dyne/cm<sup>2</sup>

$\eta$  : 非ニュートン流体の見掛け粘度, Poise



非ニュートン流体の流動を取扱う場合には、まず、 $\tau - du/dy$  の関係すなわち、流動特性をあらわしわからねばならぬ。そこで、汚泥の濃度 5,000 ~ 80,000 ppm までのものについて、 $\tau - du/dy$ ,  $\log \tau - \log \frac{du}{dy}$ ,  $\log \tau - \log l$  などの関係を求めて図-5, 図-6, 図-7 に示した。これらの関係に照合して、汚泥濃度と流体の流動特性を表-1 に示した。この表からわかつように、汚泥濃度 20,000 ~ 30,000 ppm 位迄はニュートン流体、30,000 ppm 以上では、ビンガム流体であることが認められる。また汚泥濃度小小さい場合、例えば 5,000 ~ 10,000 ppm の範囲では、しづしづは擬塑性流体的傾向を觀察された。

おしなぶり、いずれにしても、28,000 ppm以上では $\tau - dy/dy$ 曲線はすべて、原点を通っていようかに考えられた。実際取扱われている汚泥濃度の範囲内では、近似的には、ニュートン流体かビニガム流体として取扱うことができるといえよう。

結局、28,000~30,000 ppm以上の余剰汚泥の濃度懸濁液は塑性流体(ビニガム流体)と考えられる。濃度が低いときは、懸濁粒子水互に接触せず、水の場合と同じような特性を示す。濃度が大きくなり、粒子水接触しあうになると、流体内に速度勾配を形成させたためには、かなりの応力が必要になる。塑性流体では、速度勾配を形成されることは少なくとも、降伏応力と呼ばれる $\tau_0$ 以上のせん断応力を必要である。図-8、図-9は汚泥の水分により塑性粘度と降伏応力をどうよろしくかかっていきかを示したものである。

図-8に示した、水分と塑性粘度との間に次のような関係を得られた。

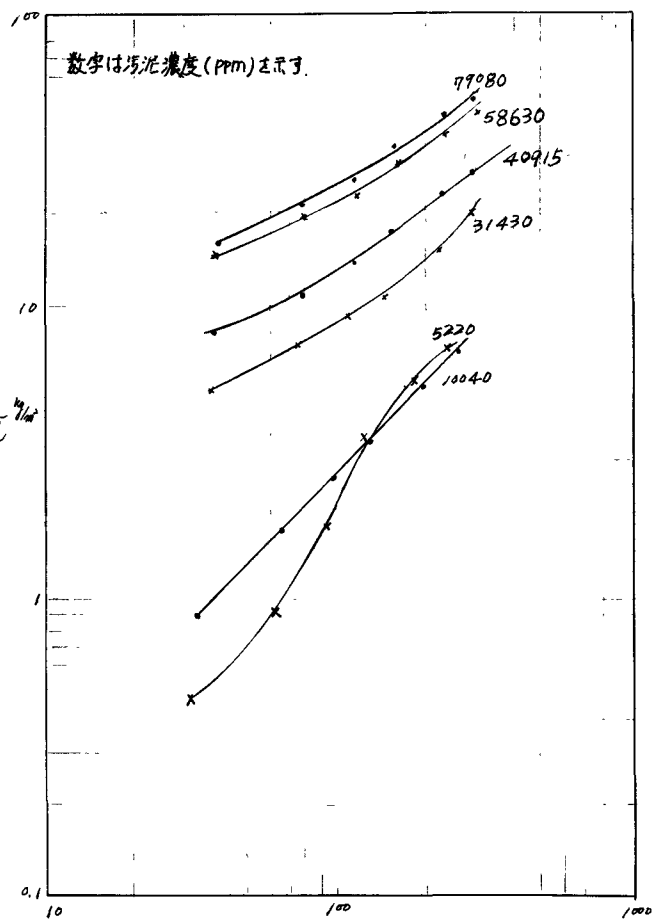


図-7 せん断応力と速度勾配

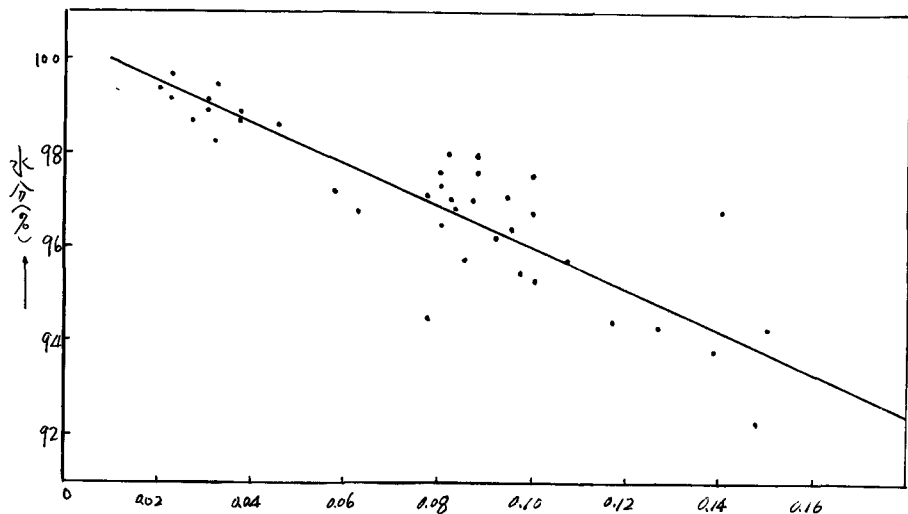


図-8 粘度と水分

表-1 汚泥濃度と流体の種類

SS ppm	$\log \bar{v} \sim \log \frac{dv}{dy}$	$\log \bar{v} \sim \log \eta$	$\bar{v} \sim \frac{dv}{dy}$	流体の種類
79080	B	B	B	B
58630	B	B	B	B
54725	B	B	B	B
53610	B	B	B	B
45365	B	B	B	B
44740	B	B	B	B
40915	B	B	P	B
36650	B	B	B	B
36095	B	B	B	B
35290	B	B	B	B
32425	B	B	B	B
31430	B	B	B	B
31100	B	B	B	B
28990	N	B	B	B
27980	N	N	N	N
24150	N	N	N	N
19758	N	N	N	N
19310	N	N	N	N
13295	N	N	N	N
10040	N	N	N	N
5220	PN	PN	PN	PN
2860	N	—	N	N

B : ピンガム流体

N : ニュートン流体

PN : 擬塑性流体

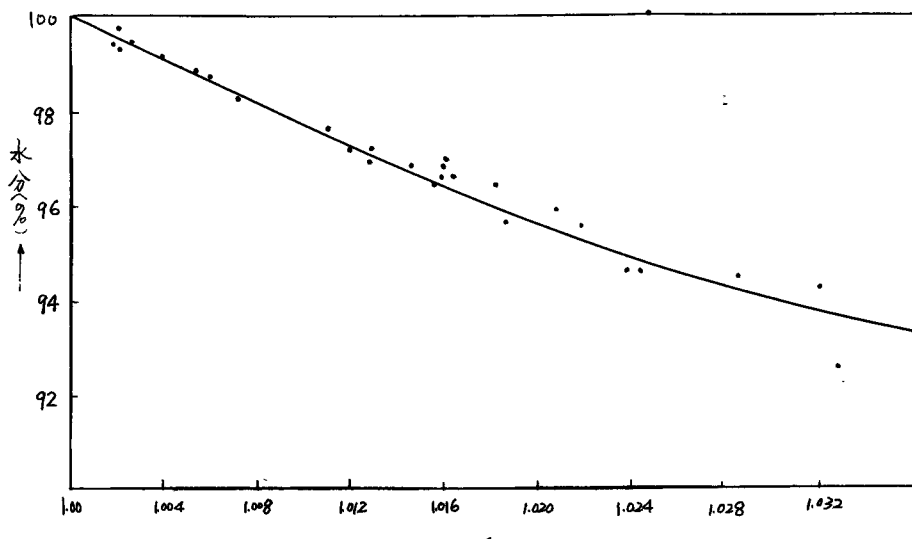
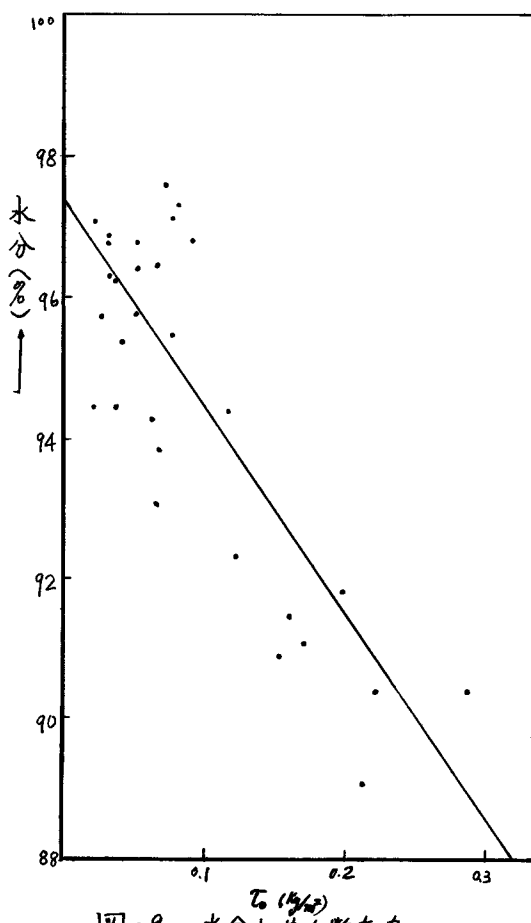


図-10 汚泥の水分と比重

すなわち、

$$w = -44.3D + 100.3$$

w : 水分, %

$\mu$  : 塑性粘度 ( poise )

降伏応力は水分の減少とともに増加し、両者の間に次の様な関係を得られた。すなわち、

$$w = -30.2\tau_c + 97.3$$

w : 水分, %

$\tau_c$  : 降伏応力 kg/cm<sup>2</sup>

となる。図-9では限界水分は97.3%である。このことは前述のニュートン流体と塑性流体との境界ではなく28,000 ~ 30,000 ppmであることを一致する。

汚泥の密度は汚泥の種類や水分によって、かなり異なる。図-10は汚泥の水分と比重との関係を示したものである。汚泥の比重も水分の減少とともにほぼ直線的に増大することが認められた。

### 3 結論

汚泥の管路流動に関する最も基本的なことは、流体の流動特性を明らかにすることである。本実験は、余剰汚泥を行い、その濃度が如何にその流体の性質に影響するかを検討したものである。現在までに得られた結論は下記の如くである。

- 1) 汚泥濃度による流体特性を明らかにし、限界水分は97.3%である。つまり、28,000 ppm以下はニュートン流体、以上が非ニュートン流体である。実際上の問題として28,000 ~ 30,000 ppm位の汚泥濃度のようを考えられる。しかも非ニュートン流体はビンガム流体として取扱うことができる。
- 2) 汚泥の水分と降伏応力および塑性粘度との関係を導いた。
- 3) 汚泥の比重は水分が減少すると直線的に増大する。

かわりに、本実験に関して、種々有益な御助言ならびに貴重な文献をおかし載った都立大学教授左合正雄先生、岩波繁蔵先生は本実験上の便宜を計って下さった東京都下水道局施設管理部長安田伊三郎、管理第二課長岩崎保久および落合下水処理場長小沢勇太郎の各氏に感謝致します。

### 参考文献

1. Chow, T. L., "Resistance of Sewage Sludge to flow in pipes,"  
S.E.D., A.S.C.E., SA5, pp 1780-1 ~ 19, (1958)
2. Longwell, P. A., "Mechanics of fluid flow,"  
pp 366 ~ 411, McGraw-Hill (1966)
3. Linnell, G. R., "Unit operation of Sanitary Engineering,"  
pp 1 ~ 31 John Wiley & Sons, Inc. (1961)
4. Davis, C. V., "Hand Book of Applied Hydraulics,"  
pp 1094 ~ 1098 McGraw-Hill (1952)
5. 藤田重文、東畑平一郎, "化学工学 I"  
132 ~ 258頁 東京化学同人 (1967)